

Master 1 EEA

EM8ECELM : Modélisation et Commande des Convertisseurs Statiques

Examen du 12 Mai 2015

Sans document
Durée : 1H30

On se propose d'étudier la commande du convertisseur continu-continu représenté sur la figure 1. Ce convertisseur doit permettre, à partir d'une source de tension de valeur E , d'alimenter une charge sous une tension réglable entre 0 et $2 \cdot E$.

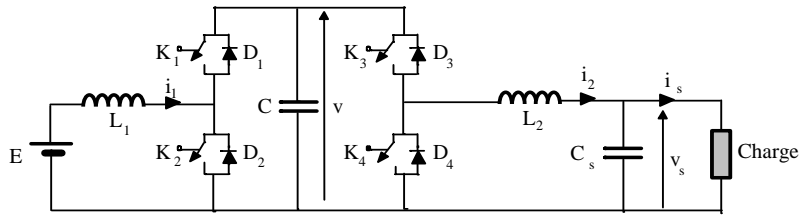


Figure 1

Commande du premier étage

La figure 2 représente le premier étage de la structure, le second étage étant assimilé à une source de courant i_e variable. Les interrupteurs K_1 et K_2 sont pilotés de manière complémentaire et les configurations possibles sont repérées par la variable u :

- $u=1$ pour K_2 fermé et K_1 ouvert,
- $u=0$ pour K_2 ouvert et K_1 fermé.

Les choix de la self L_1 et du condensateur C permettent de supposer que, sur un cycle de fonctionnement des interrupteurs, la tension v est pratiquement constante.

Dans la suite, on se propose de développer une régulation de la tension v .

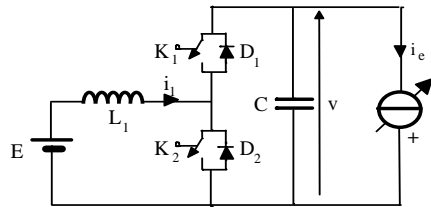


Figure 2

1) Ecrire les équations d'état en valeur instantanées de cet étage.

2) A quelle condition sur la tension v peut-on faire croître ou décroître le courant i_1 ? Donner dans chaque cas la valeur de u . Le courant i_1 peut-il être négatif ? Justifier.

On se propose de déterminer une régulation en utilisant un mode en courant maximum. La tension souhaitée aux bornes de C est $3 \cdot E$.

3) En notant α le rapport cyclique induit par ce mode, donner les équations d'état en valeurs moyennes de cet étage (*On notera les valeurs moyennes par des lettres capitales*).

4) En régime permanent, donner les conditions d'équilibre sur un point $(\alpha_0, I_{10}, V_0 = 3 \cdot E, I_{e0})$.

5) Toujours en régime permanent, établir une relation liant I_{10} et I_{e0} au moyen d'un bilan de puissance entrée-sortie.

6) En négligeant l'écart entre le courant maximum et le courant moyen I_1 dans la self L_1 , déterminer, en mode courant, l'équation d'état moyenne vérifiée par la tension V sous la forme $\frac{dV}{dt} = f(V, I_1, \frac{dI_1}{dt}, I_e)$.

On pose : $V = V_0 + \tilde{V} = 3 \cdot E + \tilde{V}$; $I_1 = I_{10} + \tilde{I}_1$; $I_e = I_{e0} + \tilde{I}_e$.

7) Déterminer le modèle d'état aux petites variations (modèle petits signaux) de ce premier étage. En employant la relation obtenue à la question 5, donner une expression de cette équation d'état dans laquelle les seuls paramètres intervenant sont E, L_1, C et I_{e0} .

8) Expliciter alors les fonctions de transfert $F_1(p)$ et $F_e(p)$ correspondant à l'expression: $\tilde{V}(p) = F_1(p) \cdot \tilde{I}_1(p) + F_e(p) \cdot \tilde{I}_e(p)$. Donner la constante de temps caractéristique, notée τ , associée à $F_1(p)$ et $F_e(p)$.

Le schéma fonctionnel "petits signaux" de la régulation de la tension de sortie du premier étage est représenté sur la figure 3. La consigne de tension est notée V_{c1} . On pose $V_{c1} = V_{c10} + \tilde{V}_{c1}$ où V_{c10} est la valeur souhaitée pour la tension de sortie. Dans notre cas, $V_{c10} = V_0 = 3 \cdot E$. En fonctionnement normal, $\tilde{V}_{c1} = 0$.

Dans une première approche, en vue de simplifier le calcul du correcteur, le courant de sortie à l'équilibre I_{e0} est supposé constant. On choisit alors $T_1 = \tau$ (méthode de compensation du pôle dominant).

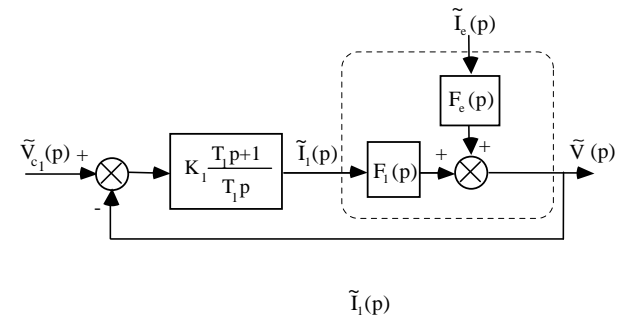


Figure 3

9) Déterminer la fonction de transfert de poursuite : $\frac{\tilde{V}(p)}{\tilde{V}_{c1}(p)} \Big|_{\tilde{i}_s(p)=0}$.

10) Donner l'expression littérale de K_1 permettant d'obtenir une constante de temps en boucle fermée

$$\tau_{BF} = \frac{\tau}{x} \quad (x > 0).$$

Commande du second étage

La figure 4 représente le second étage de la structure. La régulation de la tension de sortie du premier étage est supposée fonctionner correctement; v a donc sensiblement pour valeur $3 \cdot E$. La charge du second étage est assimilée à une source de courant i_s variable. Les interrupteurs K_3 et K_4 sont pilotés de manière complémentaire et les configurations possibles sont repérées par la variable w :

$w=1$ pour K_3 fermé et K_4 ouvert,

$w=0$ pour K_3 ouvert et K_4 fermé.

On se propose de développer une régulation de la tension v_s à une consigne V_c réglable.

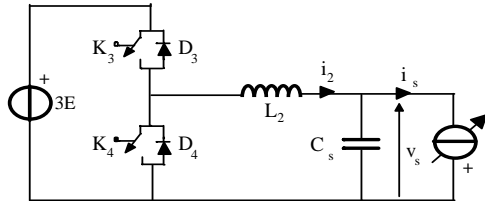


Figure 4

11) A quelle valeur maximale théorique peut-on réguler la tension v_s ? Pourquoi ?

La régulation est effectuée au moyen d'un mode courant sur i_2 , que l'on supposera idéal dans la suite.

12) Rappeler le principe de ce mode courant idéal. La consigne en courant sera notée I .

13) Ecrire alors l'équation différentielle vérifiée par la tension de sortie v_s . Donner le schéma électrique équivalent ainsi qu'un schéma fonctionnel.

La figure 4 représente le schéma fonctionnel retenu pour la régulation de tension de ce second étage (consigne V_{c2}).

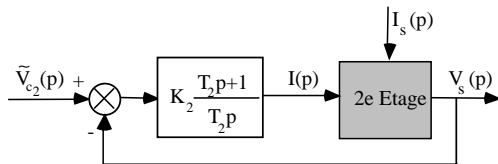


Figure 4

14) Exprimer la fonction de transfert en poursuite $\frac{V_s(p)}{V_{c2}(p)} \Big|_{I_s(p)=0}$.

15) En identifiant le dénominateur de cette fonction de transfert au polynôme $1 + \frac{2z}{\omega_n} p + \frac{p^2}{\omega_n^2}$, exprimer K_2 et T_2 en fonction de ω_n et z . Expliquer qualitativement comment choisir ω_n et z .

16) Exprimer la fonction de transfert en régulation $\frac{V_s(p)}{I_s(p)} \Big|_{V_c(p)=0}$.

17) La commande proposée permet-elle de rejeter une "perturbation" sur le courant de sortie de type échelon ? Expliquer rapidement.

Correction

1) $\begin{cases} \frac{di_1}{dt} = \frac{E}{L_1} - \frac{v}{L_1} (1-u) \\ \frac{dv}{dt} = \frac{i_1(1-u)}{C} - \frac{v}{C} \end{cases}$ 2) $v > E$

3) $\begin{cases} \frac{dI_1}{dt} = \frac{E}{L_1} - \frac{V}{L_1} (1-k) \quad (a) \\ \frac{dV}{dt} = \frac{I_1(1-k)}{C} - \frac{V}{C} \quad (b) \end{cases}$ 4) $E = V_0(1-k_0) \quad \frac{V_0}{E} = \frac{1}{1-k_0} = 3$
 $I_{10}(1-k_0) = I_{e0} \quad I_{10} = 3I_{e0}$

5) $E I_{10} = V_0 I_{e0} = 3E I_{e0} \quad \boxed{I_{10} = 3I_{e0}}$

6) (a) $\rightarrow 1-k = \frac{E}{V} - \frac{L_1}{V} \frac{dI_1}{dt}$

(b) $\rightarrow \frac{dV}{dt} = \frac{I_1 E}{CV} - \frac{L_1}{C} \frac{I_1}{V} \frac{dI_1}{dt} - \frac{I_{e0}}{C}$

7) $\frac{d\tilde{V}}{dt} = \frac{\partial f}{\partial V} \tilde{V} + \frac{\partial f}{\partial I_1} \tilde{I}_1 + \frac{\partial f}{\partial (\frac{dI_1}{dt})} \frac{d\tilde{I}_1}{dt} - \frac{\partial f}{\partial I_{e0}} \tilde{I}_{e0}$

$\frac{\partial f}{\partial V} \Big|_0 = -\frac{I_{e0} E}{CV_0^2} = -\frac{3I_{e0} E}{C(3E)^2} = -\frac{I_{e0}}{3CE}$

$\frac{\partial f}{\partial I_1} \Big|_0 = \frac{E}{CV_0} = \frac{1}{3C}$

$\frac{\partial f}{\partial (\frac{dI_1}{dt})} \Big|_0 = -\frac{L_1 I_{e0}}{CV_0} = -\frac{L_1 3I_{e0}}{C 3E} = -\frac{L_1 I_{e0}}{CE}$

$\frac{\partial f}{\partial I_{e0}} \Big|_0 = -\frac{1}{C}$

$\frac{d\tilde{V}}{dt} = -\frac{I_{e0}}{3CE} \tilde{V} + \frac{1}{3C} \tilde{I}_1 - \frac{L_1 I_{e0}}{CE} \frac{d\tilde{I}_1}{dt} - \frac{1}{C} \tilde{I}_{e0}$

8) $p \tilde{V}(p) = -\frac{I_{e0}}{3CE} \tilde{V}(p) + \frac{1}{3C} \tilde{I}_1(p) - p \frac{L_1 I_{e0}}{CE} \tilde{I}_1(p) - \frac{1}{C} \tilde{I}_{e0}(p)$

$(\frac{3CE}{I_{e0}} p + 1) \tilde{V}(p) = (\frac{E}{I_{e0}} - 3L_1 p) \tilde{I}_1(p) - \frac{3E}{I_{e0}} \tilde{I}_{e0}(p)$

$\tilde{V}(p) = \frac{E}{I_{e0}} \left(\frac{1 - 3L_1 \frac{I_{e0}}{E} p}{1 + \frac{3CE}{I_{e0}} p} \right) \tilde{I}_1(p) - \frac{3E}{I_{e0}} \frac{1}{1 + \frac{3CE}{I_{e0}} p} \tilde{I}_{e0}(p)$

9) $\frac{\tilde{V}(p)}{\tilde{I}_{e0}(p)} = \frac{k_1 \frac{E}{I_{e0}} (1 - 3L_1 \frac{I_{e0}}{E} p)}{Z p + k_1 \frac{E}{I_{e0}} (1 - 3L_1 \frac{I_{e0}}{E} p)} \quad T_1 = \frac{3CE}{I_{e0}}$

$= \frac{1 - 3L_1 \frac{I_{e0}}{E} p}{\frac{I_{e0}}{E} (\frac{Z}{k_1} - 3L_1) p + 1}$

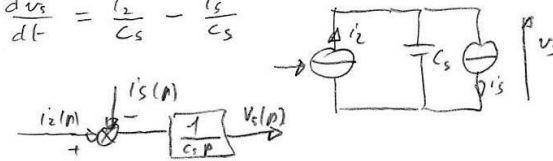
$Z_0 = \frac{3L_1 I_{e0}}{E} \quad k_0 = \frac{E}{I_{e0}}$
 $\frac{\tilde{V}(p)}{\tilde{I}_{e0}(p)} = \frac{1 - Z_0 p}{1 + \frac{Z - k_1 k_0 Z_0}{k_1 k_0} p}$
 $Z_{BF} = \frac{Z - k_1 k_0 Z_0}{k_1 k_0}$

10) $Z_{BF} = \frac{Z}{x} = \frac{I_{e0}}{E} (\frac{Z}{k_1} - 3L_1) \rightarrow \boxed{k_1 = \frac{x Z I_{e0}}{E Z + 3L_1 x I_{e0}}}$

11) 3E car abaisseur

12) $\begin{cases} u' : i_2 > I \quad w = 0 \\ u'' : i_2 < I \quad w = 1 \end{cases}$

13) $\frac{dv_s}{dt} = \frac{i_2}{C_s} - \frac{v_s}{C_s}$



14) $\frac{V_s(p)}{V_e(p)} = \frac{k_2 (T_2 p + 1)}{T_2 C_s p^2 + k_2 (T_2 p + 1)} = \frac{T_2 p + 1}{\frac{T_2 C_s}{k_2} p^2 + T_2 p + 1}$

15) $\frac{1}{\omega_m^2} = \frac{T_2 C_s}{k_2} \quad \frac{z z}{\omega_m} = T_2 \quad \boxed{T_2 = \frac{z z}{\omega_m}} \quad k_2 = z z \omega_m C_s$

16) $\frac{V_s(p)}{I_s(p)} = -\frac{1}{C_s p} \frac{1}{1 + k_2 \frac{T_2 p + 1}{C_s T_2 p^2}} = -\frac{T_2 p}{C_s T_2 p^2 + k_2 T_2 p + k_2}$

$\frac{v_c(p)}{I_s(p)} = -\frac{T_2}{k_2} \frac{p}{\frac{C_s T_2}{k_2} p^2 + T_2 p + 1}$

17) Pas d'inverse de gain.